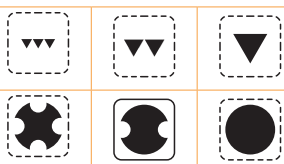
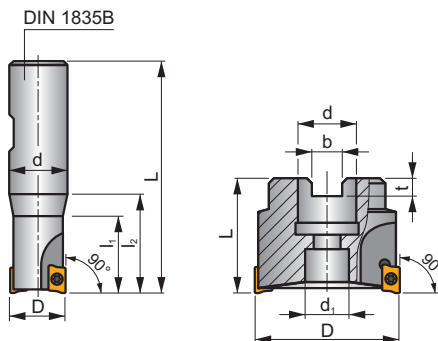
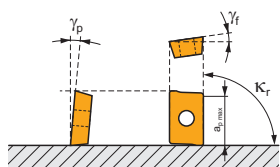


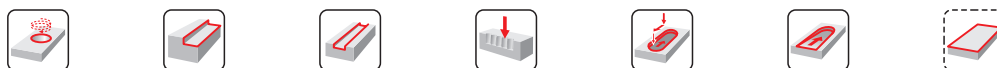
SAP10D



κ_r	90°
a_{pmax}	9,0 mm



h_m	0,08 - 0,16
h_m	0,06 - 0,13



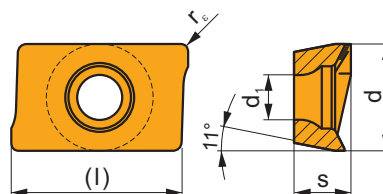
ISO	D	L	d	d ₁	l ₁	l ₂	b	t	γ_r°	γ_p°			max.		kg		
10A1R020B16-SAP10D-C	10	78	16	-	20	30	-	-	+12	+2	1	-	39000	✓	0,09	GI081	SQ215
12A1R027B16-SAP10D-C	12	75	16	-	-	27	-	-	+12	+2	1	-	35600	✓	0,10	GI081	SQ210
14A1R027B16-SAP10D-C	14	75	16	-	-	27	-	-	+12	+2	1	-	32900	✓	0,13	GI081	SQ210
16A2R032B16-SAP10D-C	16	80	16	-	-	32	-	-	+12	+4	2	-	30800	✓	0,13	GI081	SQ210
18A2R032B20-SAP10D-C	18	82	20	-	-	32	-	-	+12	+4	2	-	29100	✓	0,15	GI081	SQ210
20A3R032B20-SAP10D-C	20	82	20	-	-	32	-	-	+12	+4	3	-	27600	✓	0,16	GI081	SQ210
25A3R042B25-SAP10D-C	25	98	25	-	-	42	-	-	+12	+4	3	-	24700	✓	0,36	GI081	SQ210
40A6R-S90AP10D	40	40	16	14	-	-	8,4	5,6	0	+3	6	✓	19500	-	0,23	GI081	SQ211
50A7R-S90AP10D	50	40	22	18	-	-	10,4	6,3	0	+3	7	✓	17400	-	0,41	GI081	SQ211
63A9R-S90AP10D	63	50	22	18	-	-	10,4	6,3	0	+3	9	✓	15500	-	0,57	GI081	SQ211

GI081	APKT 1003..

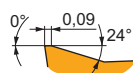
SQ210	US 2506-T07P	1,2	M 2,5	6	-	-	Flag T07P
SQ211	US 2506-T07P	1,2	M 2,5	6	D-T07P/T09P	FG-15	-
SQ215	US 2505-T07P	1,2	M 2,5	5	-	-	Flag T07P

APKT 10

	d	d ₁	l	s
1003	6,700	2,88	11,00	3,50

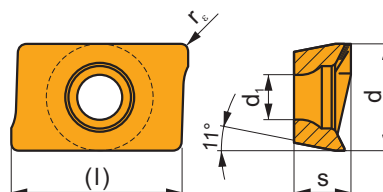


i	ISO	Material	P	M	K	N	S	H	?	Lubrication	r _ε	f _{min}	f _{max}	a _{p min}	a _{p max}
	APKT 1003PDER-M	M9315	■		▣				●	---	0,5	0,10	0,20	1,0	9,0
			■	▣			▣		●	---	0,5	0,10	0,20	1,0	9,0
			▣	■					●	---	0,5	0,10	0,20	1,0	9,0
			■	■	■			□	●	-	0,5	0,10	0,25	1,0	9,0
			■	■	▣		▣		●	+/-	0,5	0,10	0,25	1,0	9,0
			▣	▣	■			□	●	-	0,5	0,10	0,25	1,0	9,0
			■	■	■			▣	●	-	0,5	0,10	0,25	1,0	9,0



APKT 10-FA

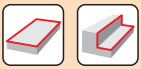
	d	d ₁	l	s
1003	6,700	2,88	11,00	3,50



i	ISO	Material	P	M	K	N	S	H	?	Lubrication	r _ε	f _{min}	f _{max}	a _{p min}	a _{p max}
	APKT 1003PDFR-FA	HF7				■			●	+/-	0,5	0,05	0,30	0,8	9,0

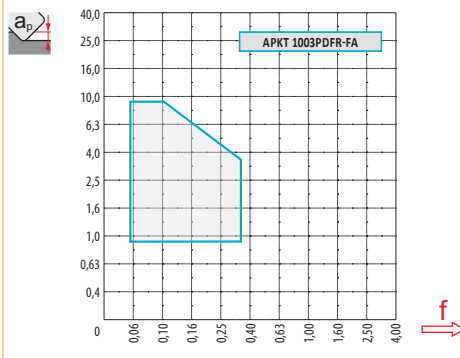
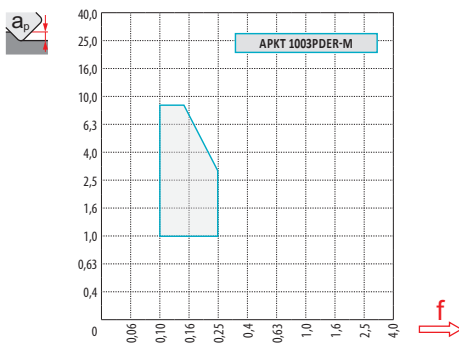


ISO	f_{min}	f_{max}	M9315	M9325	M9340	M8330	M8340	8215	8230	HF7	
P		0,10	0,25	413	366	328	352	299	328	314	-
		0,10	0,20	375	323	295	314	266	290	280	-
		0,10	0,15	342	285	261	271	233	257	242	-
M		0,10	0,25	-	185	195	200	176	195	185	76
		0,10	0,20	-	166	176	179	157	176	166	67
		0,10	0,15	-	143	157	159	138	152	147	57
K		0,10	0,25	394	-	-	335	285	309	299	124
		0,10	0,20	356	-	-	298	252	276	266	109
		0,10	0,15	323	-	-	261	219	242	233	95
N		0,10	0,25	-	-	-	884	-	817	789	323
		0,10	0,20	-	-	-	787	-	732	703	290
		0,10	0,15	-	-	-	687	-	646	613	252
S		0,10	0,25	-	90	95	97	86	95	90	38
		0,10	0,20	-	81	86	87	76	86	81	33
		0,10	0,15	-	71	76	77	67	76	71	29



a_e/D	0,05	0,10	0,15	0,20	0,25	0,30	0,40	0,50	0,60	0,70	0,75	0,80	0,90	1,00
	1,48	1,35	1,27	1,22	1,19	1,16	1,11	1,08	1,05	1,03	1,00	1,00	1,00	1,00
	2,87	2,05	1,69	1,48	1,33	1,23	1,09	0,75	0,94	0,90	0,89	0,88	0,88	1,00
	0,64	0,64	0,64	0,64	0,64	0,65	0,65	0,67	0,68	0,71	0,72	0,74	0,79	1,00

	APKT 10-M	APKT 10-FA
	0,5	0,5
	0,84	0,84



max
4,5



a_p	1,0	3,0	5,0
f	0,20	0,13	0,10



	α_{\max}°	a_p/l
10	7,3	9,0/72
12	6,2	9,0/84
14	5,3	9,0/99
16	2,4	4,0/100
18	2,3	3,9/100
20	2,2	3,7/100
25	2,2	3,7/100
32	1,6	2,6/100



	d_{\min}	d_{\max}		
10	11,0	20,0	0,4	3,8
12	13,0	24,0	0,3	3,9
14	17,5	28,0	1,0	3,9
16	20,5	32,0	0,6	2,0
18	23,8	36,0	0,7	2,2
20	27,2	40,0	0,9	2,4
25	37,9	50,0	1,6	3,0
32	50,9	64,0	1,7	2,8



a_p/l
0,3